

УДК: 521.172

## РАСПРОСТРАНЕНИЕ ВЗРЫВОПОДОБНОГО ИМПУЛЬСА ВО ВЛОЖЕННОМ ВРАЩАЮЩЕМСЯ ЛЕГКОМ ГАЗОВОМ ДИСКЕ

М.Г.АБРАМЯН, С.Г.ХАЧАТРЯН

Поступила 30 июня 1999

Принята к печати 1 ноября 1999

Изучено распространение осесимметричных нелинейных возмущений плотности, образованных в центральной части вложенного вращающегося газового диска, возмущениями гравитационного поля которого можно пренебречь. Обсуждено ранее примененное нами приближение непрерывных решений и реализован численный метод характеристик при интегрировании системы двумерных гидродинамических уравнений. Аналитически получено качественное описание движения пиков вдали от центра диска. С учетом диссипативных сил прослежена эволюция взрывоподобного возмущения по диску.

*1. Введение.* Задача распространения осесимметричных возмущений плотности во вложенном бесконечно тонком вращающемся газовом диске в пренебрежении самогравитацией была поставлена в работе [1]. Была оценена возмущенная гравитационная сила по сравнению с возмущенной гидродинамической силой и показано, что в легких горячих дисках вокруг массивных компактных объектов и в центральных областях экстремально плоских подсистем галактик возмущениями гравитационного потенциала при изучении динамики газового диска можно пренебречь.

Система двумерных гидродинамических уравнений

$$\frac{\partial v_r}{\partial t} + v_r \frac{\partial v_r}{\partial r} - 2\Omega v_\phi - \frac{v_\phi^2}{2} = -c_s^2 \left( \frac{\sigma_g}{\sigma_{0g}} \right)^{\gamma-2} \frac{1}{\sigma_{0g}} \frac{\partial \sigma_g}{\partial r}, \quad (1)$$

$$\frac{\partial v_\phi}{\partial t} + \frac{\chi^2}{2\Omega} v_r + \frac{v_r}{2} \frac{\partial}{\partial r} (r v_\phi) = 0, \quad (2)$$

$$\frac{\partial \sigma_g}{\partial t} + \frac{1}{r} \frac{\partial}{\partial r} (r \sigma_g v_r) = 0, \quad (3)$$

(где  $\Omega(r)$  - угловая скорость вращения диска,  $\chi = 2\Omega \sqrt{1 + \frac{r}{2\Omega} \frac{d\Omega}{dr}}$  - эпициклическая частота,  $\gamma$  - "плоский" показатель политропы [2-4],  $v_\phi$  - возмущение азимутальной скорости,  $v_r$  - радиальная скорость,  $\sigma_g = \sigma_{0g} + \sigma'_g$

- полная возмущенная поверхностная плотность газа), соответствующая такой постановке, является, как показано ниже, гиперболической системой квазилинейных уравнений. В общем случае, следовательно, она приводит к образованию разрывов, допуская их распространение [5].

В работе [1] изучалась динамика достаточно коротковолновых ( $L/2\pi R \ll 1$ ) стационарных прогрессивных возмущений вида

$$\sigma_g = \sigma_g(r - wt), \quad v_r = v_r(r - wt), \quad v_\varphi = v_\varphi(r - wt), \quad (4)$$

где  $w$  - постоянная скорость распространения нелинейной волны. В этом случае система разрешима в квадратурах. Приведем два из основных результатов, первый из которых является определением предельной амплитуды, а аналогия со вторым будет прослежена ниже.

а) При заданных значениях параметров  $w$  и  $\gamma$  амплитуда нелинейной прогрессивной волны ограничена значением

$$\Sigma_{0b} = w^{2/(\gamma+1)} - 1. \quad (5)$$

б) Между предельными значениями амплитуд радиальной скорости и плотности существует простая связь:

$$u_{0b} = \Sigma_{0b} = w^{\frac{\gamma-1}{\gamma+1}}, \quad (6)$$

При естественном для межзвездной среды значении  $\gamma=1$  имеем

$$u_{0b} = \Sigma_{0b} = w - 1. \quad (7)$$

В работе [6] нестационарные решения в окрестности точки  $\tau$  радиусом  $\Delta\tau$  были представлены в виде локального степенного ряда

$$v(x, \tau + \Delta\tau) = \sum_{k=0}^{\infty} C_k(x, \tau) \Delta\tau^k, \quad (8)$$

где коэффициенты  $C_k$  - непрерывные, двукратно дифференцируемые по  $x$  функции. Рассматривалась модель твердотельно вращающегося ( $\chi/2\Omega = 1$ ) изотермического диска ( $\gamma=1$ ) и были выявлены следующие основные закономерности распространения нелинейных возмущений при различных начальных условиях [6].

а) Случай слабой нелинейности ( $\sigma'_g \leq 0.1\sigma_{0g}$ ).

- Импульс распространяется со скоростью звука.

- Асимптотически выполняется соотношение, аналогичное (7): разность между амплитудами радиальной скорости и возмущения плотности стремится к нулю, при этом сами амплитуды также монотонно убывают.

б) Случай сильной нелинейности ( $\sigma'_g \approx 2\sigma_{0g}$ )

- Наблюдается характерное искажение профиля начального импульса: максимум постепенно заостряется до тех пор, пока на переднем фронте не появляется точка с бесконечно большой пространственной производной. Происходит опрокидывание волны - образуется ударная волна.

- Строго говоря, этим моментом ограничивается область применимости обсужденного метода, поскольку далее реальный профиль описывается разрывной функцией. Попытка продолжения расчетов, то есть моделирования профиля в точке разрыва узкой (шириной порядка  $\Delta x$ ) областью непрерывного, но резкого скачка, приводит к резкому накоплению ошибок [7]. Это качественно трансформирует форму импульса: в области разрыва образуются высокочастотные осцилляции, распространяющиеся со временем по всему профилю, превращая его в серию узких пиков (см. [6]).

2. *Опрокидывающаяся волна и распространение разрывов.* Переходом к новым независимым переменным  $x = \chi r/c_s$ ,  $\tau = \chi t$  и введением безразмерных величин [8]

$$u = \frac{v_r}{c_s}, \quad v = \frac{2\Omega}{\chi c_s} v_\phi, \quad \Sigma_1 = \ln\left(\frac{\sigma_g}{\sigma_{0g}}\right), \quad (9)$$

систему (1)-(3) можно представить в безразмерном виде

$$\frac{\partial u}{\partial \tau} + u \frac{\partial u}{\partial x} - v - \frac{v^2}{x} + \frac{\partial \Sigma_1}{\partial x} = 0, \quad (10)$$

$$\frac{\partial v}{\partial \tau} + u + \frac{u}{x} \frac{\partial}{\partial x}(xv) = 0, \quad (11)$$

$$\frac{\partial \Sigma_1}{\partial \tau} + \frac{1}{x} \frac{\partial}{\partial x}(xu) + u \frac{\partial \Sigma_1}{\partial x} = 0. \quad (12)$$

Матрица, составленная из коэффициентов при производных по пространственной переменной,

$$a_{ij} = \begin{pmatrix} u(x, \tau) & 0 & 1 \\ 0 & u(x, \tau) & 0 \\ 1 & 1 & u(x, \tau) \end{pmatrix},$$

является вещественной и симметрической. Следовательно, уравнения (10)-(12) составляют гиперболическую систему, имеющую три семейства характеристик [5,9]. Соответствующие характеристические скорости суть собственные числа матрицы  $a_{ij}$ :  $c_1 = u-1$ ,  $c_2 = u$ ,  $c_3 = u+1$ .

Наиболее эффективным для решения гиперболических систем является метод интегрирования вдоль характеристик [10]. Этот метод использован в данном разделе.

Из (11), (12) следуют связи [11]

$$u = \frac{\partial v}{\partial \tau} \left[ 1 + \frac{1}{x} \frac{\partial}{\partial x}(xv) \right]^{-1}; \quad \Sigma_1 = \ln \left( 1 + \frac{\partial}{\partial x}(xv) \right), \quad (13)$$

подстановкой которых в (10) получим уравнение второго порядка с характеристиками  $c_1 = u-1$  и  $c_3 = u+1$  относительно  $v(x, \tau)$  [1]. Эффективный итеративный алгоритм интегрирования гиперболических уравнений второго порядка, использованный нами для решения системы уравнений (10), (13), описан в монографии [12].

Начальные условия выбирались такого же типа, что и в работе [6]: стационарное возмущение со скоростью распространения  $w = \text{const}$  в начальный момент времени, удовлетворяющее закону сохранения массы -

$$v(x, 0) = x^\lambda (x^m - 1) e^{-\alpha x^n}; \quad v_\tau(x, 0) = -w v_x(x, 0), \quad (14)$$

где  $\lambda \geq 1, m \geq 1, n \geq 1$ . В отличие от предыдущей работы, где был исключен из рассмотрения центр диска, здесь начальное распределение возмущений задано вплоть до  $x = 0$ , что дополнительно ограничивает  $\lambda$  снизу. Из (13) и (14) легко можно установить поведение основных величин вблизи центра:  $v(x, 0) \sim x^\lambda$ ,  $\Sigma_1(x, 0) \sim x^{\lambda-1}$ ,  $u(x, 0) \sim x^{\lambda-1}$ , при  $x \rightarrow 0$ . Подстановкой этих асимптотических выражений в систему (10)-(12), с требованием конечности каждого слагаемого в отдельности, определяется нижний предел параметра  $\lambda$ :  $\lambda \geq 2$ , в отличие от ранее принятого  $\lambda = 1$  [6].

Никаких граничных условий при  $x = 0$  не задавалось. Поэтому область интегрирования на  $(x, \tau)$ -плоскости была ограничена полуосью  $0 \leq x \leq +\infty$  и характеристической кривой  $dx/d\tau = u+1$ , выходящей из точки  $(0, 0)$ .

На рис.1 изображено распространение слабого импульса, уплотнение в котором не превышает 10% от равновесной плотности. Решение полностью согласуется с результатом работы [6] и подтверждает правомерность поиска решения в виде непрерывных функций для слабых возмущений.

Случай сильного возмущения изображен на рис.2, где распределение

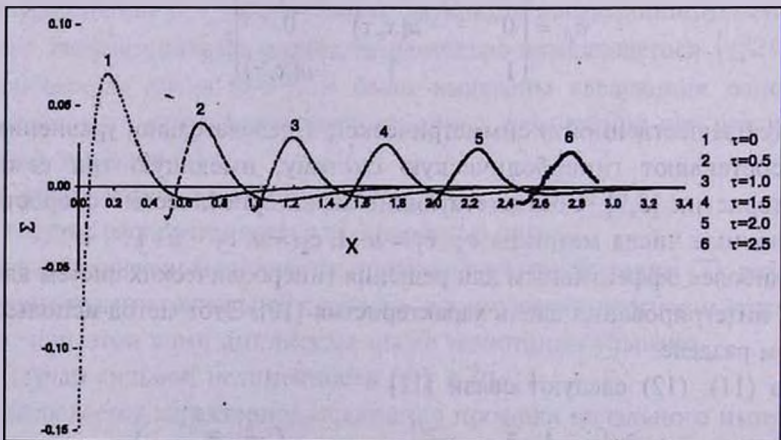


Рис.1. Распространение возмущения малой интенсивности. Решение получено методом характеристик. Распределение возмущенной плотности показано в моменты времени, указанные на рисунке.

плотности показано в моменты времени  $\tau = 0; 0.1; 0.3; 0.5$ . Решение представляет собой опрокидывающуюся волну. И здесь оба обсужденных метода обеспечивают одинаковый результат до момента образования ударной волны: в начальной стадии распространения доминирующим является нелинейный эффект увеличения крутизны фронта пика, и, как следствие, волна опрокидывается. В дальнейшие моменты времени, однако, математически правильный результат достигается лишь методом характеристик. Более плотные участки возмущения продолжают двигаться с большей скоростью, и функция распределения плотности становится многозначной. Подобный профиль не имеет, конечно, физического смысла. Однако реальное решение в каждый данный момент можно смоделировать, введя разрыв первого рода, удовлетворяющий закону сохранения массы [5,9] (разрыв для момента  $\tau = 0.5$  показан на рис.2 отрезком АВ).

Определим условия на разрыве, которые выводятся из законов сохранения

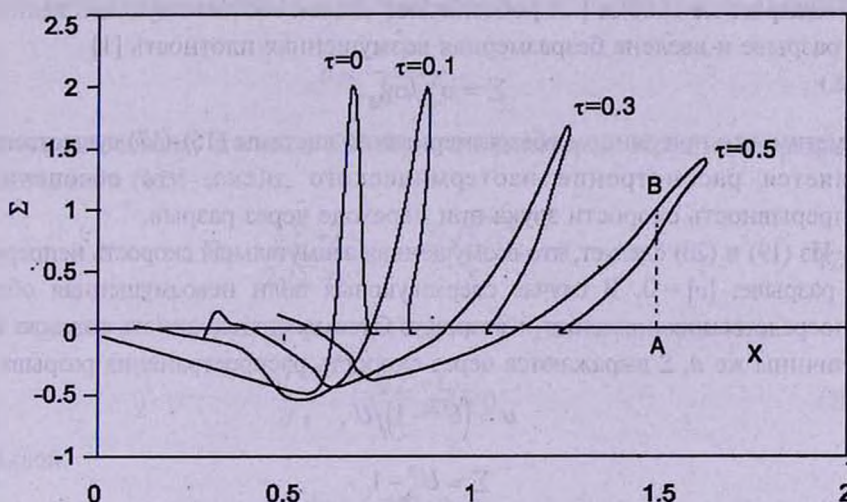


Рис.2. Распространение сильного импульса. Решение получено методом характеристик. Распределение возмущенной плотности показано в моменты времени, указанные на рисунке. Разрыв показан отрезком АВ.

в интегральной форме. В нашем случае это законы сохранения импульса и массы. Если  $p$  - давление и  $\Pi_k$  - тензор плотности потока количества движения, то в интегральной форме система (1)-(3) запишется как

$$\frac{\partial}{\partial t} \int_{r_1}^{r_2} \sigma_g v_r r dr + r \Pi_{rr} \Big|_{r_1}^{r_2} - \int_{r_1}^{r_2} \sigma_g \left( 2\Omega v_\varphi + \frac{v_\varphi^2 - c_s^2}{r} \right) r dr = 0, \quad (15)$$

$$\frac{\partial}{\partial t} \int_{r_1}^{r_2} \sigma_g v_\varphi r dr + r \Pi_{r\varphi} \Big|_{r_1}^{r_2} + 2\Omega \int_{r_1}^{r_2} \sigma_g v_r r dr = 0, \quad (16)$$

$$\frac{\partial}{\partial r} \int_{r_1}^{r_2} \sigma_s r dr + r \sigma_s v_r \Big|_{r_1}^{r_2} = 0, \quad (17)$$

где  $\Pi_{rr} = p + \sigma_s v_r^2 = \sigma_s (v_r^2 + c_s^2)$ ,  $\Pi_{v,r} = \sigma_s v_r v_\varphi$ .

Пусть в некоторый момент времени разрыв находится в точке  $r_0$ . Скорость его распространения обозначим через  $U$ . Беря пределы интегрирования в (15)-(17) по разные стороны разрыва  $r_0 - \delta$  и  $r_0 + \delta$  и переходя к пределу  $\delta \rightarrow 0$ , в безразмерном виде получим

$$U[(1 + \Sigma)u] = [(1 + \Sigma)(1 + u^2)], \quad (18)$$

$$U[(1 + \Sigma)v] = [(1 + \Sigma)v u], \quad (19)$$

$$U[1 + \Sigma] = [(1 + \Sigma)u], \quad (20)$$

где квадратные скобки [ ... ] обозначают скачок соответствующей величины на разрыве и введена безразмерная возмущенная плотность [1]

$$\Sigma = \sigma'_s / \sigma_{0s}. \quad (21)$$

Отметим, что при данном обезразмеривании системы (15)-(17) существенным является рассмотрение изотермического диска, что обеспечивает непрерывность скорости звука при переходе через разрыв.

Из (19) и (20) следует, что возмущенная азимутальная скорость непрерывна на разрыве:  $[v] = 0$ . В случае сверхзвуковых волн невозмущенная область непосредственно прилегает к разрыву. Отсюда видно, что на разрыве  $v = 0$ . Величины же  $u$ ,  $\Sigma$  выражаются через скорость распространения разрыва  $U$ :

$$u = (U^2 - 1)/U, \quad (22)$$

$$\Sigma = U^2 - 1. \quad (23)$$

Условия на разрыве (22), (23) являются обобщением свойства (6) на нестационарный случай.

Теперь покажем, что на больших расстояниях от центра можно перейти к пределу

$$|\Sigma - u| \rightarrow 0, \quad \text{при } x \rightarrow \infty \quad (24)$$

для конечных значений амплитуд.

Образование ударной волны приводит к затуханию импульса. Действительно, при введении разрыва всегда отсекается вершина "опрокинувшегося" профиля [5]. А разрыв, то есть область больших градиентов, исчезает лишь асимптотически при  $\tau \rightarrow \infty$  [9]. Это означает, что на больших расстояниях от центра диска в области пика в первом приближении можно пренебречь значениями функций по сравнению с их производными и опустить азимутальную скорость, так как она непрерывна.

Тогда вместо системы (10)-(12) основные уравнения запишутся как

$$u_\tau + \Sigma_{1x} = 0, \tag{25}$$

$$\Sigma_{1\tau} + u_x = 0. \tag{26}$$

Учитывая, что  $u = 0$  при  $\Sigma = 0$ , из (21), (25) и (26) сразу следует, что при  $\tau \rightarrow \infty$   $\Sigma = u$  и волна, вернее область, прилегающая к разрыву, стационарно распространяется со скоростью звука. В периферийных областях диска отсутствует характерное нелинейное искажение профиля пика, имеющего крутой передний фронт.

Метод характеристик не только позволяет решить уравнение с большой точностью, но и является удобным инструментом в выявлении общих закономерностей поведения решений. Оценим скорости распространения импульса и убывания его амплитуды. Идея состоит в том, что реальное решение аппроксимируется простой волной [5], то есть уравнение (10) заменяется функциональной зависимостью  $u = u(\Sigma)$ . Из (22), (23) следует

$$u = \frac{\Sigma}{\sqrt{1 + \Sigma}}. \tag{27}$$

Теперь предположим, что связь (27) верна и в некоторой окрестности разрыва и подставим в (12):

$$\Sigma_\tau + \frac{3\Sigma + 2}{2\sqrt{\Sigma + 1}} \Sigma_x + \frac{\Sigma\sqrt{\Sigma + 1}}{x} = 0 \tag{28}$$

В характеристической форме уравнение (28) представится как

$$\frac{d\Sigma}{d\tau} + \frac{\Sigma\sqrt{\Sigma + 1}}{x} = 0 \tag{29}$$

на кривой

$$\frac{dx}{d\tau} = \frac{3\Sigma + 2}{2\sqrt{\Sigma + 1}}. \tag{30}$$

Из (30) следует, что  $U \sim dx/d\tau \rightarrow 1$  при  $\tau \rightarrow \infty$ , когда  $\Sigma \rightarrow 0$ . Далеко от центра возмущение переходит в звуковую волну. Комбинируя (29) и (30), получим на характеристике обыкновенное дифференциальное уравнение

$$\frac{d\Sigma}{dx} = -\frac{2\Sigma(\Sigma + 1)}{x(3\Sigma + 2)}, \tag{31}$$

которое легко интегрируется методом разделения переменных:

$$\Sigma^2(\Sigma + 1) = C(\xi)x^{-2}, \tag{32}$$

где  $x(\tau = 0) = \xi$  и  $C(\xi)$  - постоянная интегрирования, зависящая от значения  $\Sigma(\xi)$  в точке  $(\xi, 0)$  пересечения характеристики с осью  $x$ . Амплитуда

возмущения асимптотически убывает как  $1/x$ . Заметим, что при связи (27) характеристики уравнений (10) и (12) совпадают с точностью до кубических по малой разности  $U-1$  членов.

Оказывается, можно получить точный аналог стационарных плоских волн, обсужденных во введении, и в случае цилиндрических волн. Это получается в предположении следующей нелинейной зависимости:

$$u = w \frac{\Sigma}{\Sigma + 1}, \quad (33)$$

вместо (27). Подставляя в (33) условия (22), (23), найдем, что  $w = U$ . При  $U = \text{const}$  уравнение (12) линеаризуется:

$$\Sigma_\tau + w \Sigma_x + w \Sigma/x = 0, \quad (34)$$

решение которого есть  $\Sigma(x, \tau) = \Sigma(x - w\tau)/x$  (здесь  $\Sigma(x)$  - начальное распределение плотности). В отличие от плоской волны в цилиндрическом случае амплитуда стационарной волны убывает как  $1/x$ . Противоречие с предположением  $U = \text{const}$  устраняется в пределе малых амплитуд ( $U \rightarrow 1$ ) с точностью лишь до линейных по  $U-1$  членов.

3. *Волны в вязком диске.* Чтобы избежать многозначных решений, учтем вязкость газового диска. В правых частях уравнений (1) и (2) появятся

члены  $\nu \left[ \frac{1}{r} \frac{\partial}{\partial r} \left( r \frac{\partial v_r}{\partial r} \right) - \frac{v_r}{r^2} \right]$  и  $\nu \left[ \frac{1}{r} \frac{\partial}{\partial r} \left( r \frac{\partial v_\phi}{\partial r} \right) - \frac{v_\phi}{r^2} \right]$  соответственно, где  $\nu$  - коэффициент вязкости среды диска [9]. В безразмерных переменных будем иметь следующую параболическую систему:

$$\frac{\partial u}{\partial \tau} + u \frac{\partial u}{\partial x} - \nu \frac{v^2}{x} + \frac{\partial \Sigma_1}{\partial x} = \nu_1 \left[ \frac{1}{x} \frac{\partial}{\partial x} \left( x \frac{\partial u}{\partial x} \right) - \frac{u}{x^2} \right], \quad (35)$$

$$\frac{\partial v}{\partial \tau} + u + \frac{u}{x} \frac{\partial}{\partial x} (xv) = \nu_1 \left[ \frac{1}{x} \frac{\partial}{\partial x} \left( x \frac{\partial v}{\partial x} \right) - \frac{v}{x^2} \right], \quad (36)$$

$$\frac{\partial \Sigma_1}{\partial \tau} + \frac{1}{x} \frac{\partial}{\partial x} (xv) + u \frac{\partial \Sigma_1}{\partial x} = 0, \quad (37)$$

где  $\nu_1 = \nu \chi / c_s^2$ . Оценки коэффициента вязкости для межзвездного газа в области "3 кпк"-рукава Галактики дают порядок  $10^{25} - 10^{26}$  см<sup>2</sup>/с [2], откуда, принимая  $c_s = 10$  км/с и  $\chi = 90$  км/с кпк, получим  $\nu_1 \sim 0.03 - 0.3$ .

Сколь бы малым ни был коэффициент  $\nu_1$ , большие значения второй производной обеспечивают сглаживание профиля и предотвращают опрокидывание волны. В работе [8] система (35)-(37) численно решалась с применением явных конечно-разностных схем. Гладкие решения были получены для сравнительно больших значений  $\nu_1 > 0.2$ , при которых, однако, диссипация настолько велика, что волна быстро затухает. При меньших

значениях на переднем фронте максимума образуются характерные для метода [6] осцилляции. Основная причина их возникновения заключена в характере функций распределений. Малый коэффициент вязкости хотя и обеспечивает непрерывное решение, но передний фронт становится настолько крутым, что наперед заданный шаг  $\Delta x$  становится неадекватным. Уменьшением  $\Delta x$  можно увеличить разрешающую способность решетки. Но при этом доминирующими становятся быстро накапливаемые ошибки, связанные с округлением и конечным представлением чисел в компьютере [7,13]. Использование в разностной схеме сплайн-аппроксимации по пространственной переменной [14] также не обеспечивает существенного увеличения точности метода при малых  $\nu_1$ .

В связи с этим был применен метод конечных элементов [13] для решения системы (35)-(37), сходимость которого не ограничена условием  $\Delta x \rightarrow 0$ , как это имеет место для метода конечных разностей.

Область изменения  $x$  делится на  $N$  интервалов (в общем случае не обязательно равных) и определяются  $N$  базисных функций  $\varphi_i(x)$ , отличных от нуля только в соответствующем интервале  $(x_{i-1}, x_{i+1})$ . Далее зависимые переменные разлагаются в конечный ряд по базисным функциям

$$u(x, \tau) = [\varphi(x)]\{u(\tau)\}, \quad v(x, \tau) = [\varphi(x)]\{v(\tau)\}, \quad \Sigma_1(x, \tau) = [\varphi(x)]\{\Sigma_1(\tau)\}, \quad (38)$$

где квадратные скобки обозначают  $N$ -мерный вектор-строчку, фигурные — вектор-столбец.

В общем случае разложение (38) не будет удовлетворять системе (35)-(37), и после подстановки уравнения будут выполняться лишь с точностью до остаточных ошибок  $R_u, R_v, R_{\Sigma}$  соответственно. Среди различных способов минимизации этих ошибок в данной работе был выбран метод Галеркина. Процедура сводится к требованию

$$\int_0^{\infty} R(x, \tau) \varphi_i(x) dx = 0 \quad (39)$$

для всех функций  $\varphi_i(x)$ . В нашей задаче требованием (39) определяются  $3N$  обыкновенных дифференциальных уравнения для  $3N$  неизвестных функций  $\{u(\tau)\}, \{v(\tau)\}, \{\Sigma_1(\tau)\}$ .

Включение центра диска в рассмотрение позволило задать очевидные граничные условия при  $x = 0$ :  $u(0, \tau) = v(0, \tau) = 0$ . Поверхностная плотность по-прежнему не задавалась явно в начале координат. Неполное задание граничных условий не позволяет при раскрытии (39) интегрировать диссипативный член по частям, вводя граничные условия непосредственно в систему дифференциальных уравнений и уменьшая на единицу порядок дифференцирования базисных функций. Это означает, что функции  $\varphi_i(x)$  должны быть по крайней мере двукратно дифференцируемы на отрезке

$(x_{i-1}, x_{i+1})$ . Они были выбраны в виде многочленов четвертой степени, удовлетворяющих следующим условиям:

$$\varphi_i(x_i) = 1, \quad \varphi_i(x_{i-1}) = \varphi_i(x_{i+1}) = 0, \quad \varphi_i'(x_{i+1}) = -\varphi_i'(x_{i-1}) = s. \quad (40)$$

Параметр  $s$  определяется из требования тождественного равенства нулю интеграла

$$\int_0^{\infty} \frac{\partial^2 u(x, \tau)}{\partial x^2} \varphi_i(x) dx = \sum_{j=1}^{\infty} \int_0^N u_j(\tau) \varphi_j''(x) \varphi_i(x) dx \equiv 0 \quad (41)$$

в случае не зависящего от  $x$  распределения  $u(x, \tau) = u(\tau)$  (для такого распределения тождество  $\int_0^{\infty} \frac{\partial u(x, \tau)}{\partial x} \varphi_i(x) dx \equiv 0$  выполняется автоматически при любом  $s$ ) и равен  $s = 0.035$ .

Теперь можно в гиперматричной форме [15] легко вычислить коэффициенты в результирующей системе, которые имеют вид  $I_k = \int_0^{\infty} \frac{1}{x^k} \varphi_j^{(n)}(x) \varphi_i(x) dx$  и  $J_k = \int_0^{\infty} \frac{1}{x^k} \varphi_k^{(m)}(x) \varphi_j^{(n)}(x) \varphi_i(x) dx$  ( $k, m = 0, 1; n = 0, 1, 2$ ). Для этой цели был использован чрезвычайно мощный и удобный пакет Mathematica 3.0. При  $k = 1$  получаются довольно громоздкие функции от  $i$ . Расчеты можно упростить, заменяя величины  $I_1^{-1}(i)$  и  $J_1^{-1}(i)$  линейными интерполяционными формулами. При этом ошибка не превосходит  $10^{-6}$  для  $i > 4$ . В рамках такого упрощения последние слагаемые в правых частях уравнений (35), (36) могут быть опущены. Полученная система обыкновенных дифференциальных уравнений решалась методом Рунге-Кутты в среде приложения Microsoft Excel 97.

Начальные условия, моделирующие взрывоподобный импульс поверхностной плотности диска, зададим в виде

$$\Sigma_i(x, 0) = v(x, 0) = 0, \quad u(x, 0) = \begin{cases} \frac{M}{x_0} x, & 0 \leq x < x_0 \\ M e^{-\alpha(x-x_0)^2}, & x \geq x_0. \end{cases} \quad (42)$$

Начальная функция распределения радиальной скорости представлена на рис.3а. Распространение указанного возмущения подчиняется следующим основным закономерностям.

Всюду положительное начальное распределение радиальной скорости приводит к образованию уплотнения, скорость распространения которого больше скорости максимума  $u$ . При этом практически все вещество сразу выталкивается из центральной области диска. Этот процесс продолжается

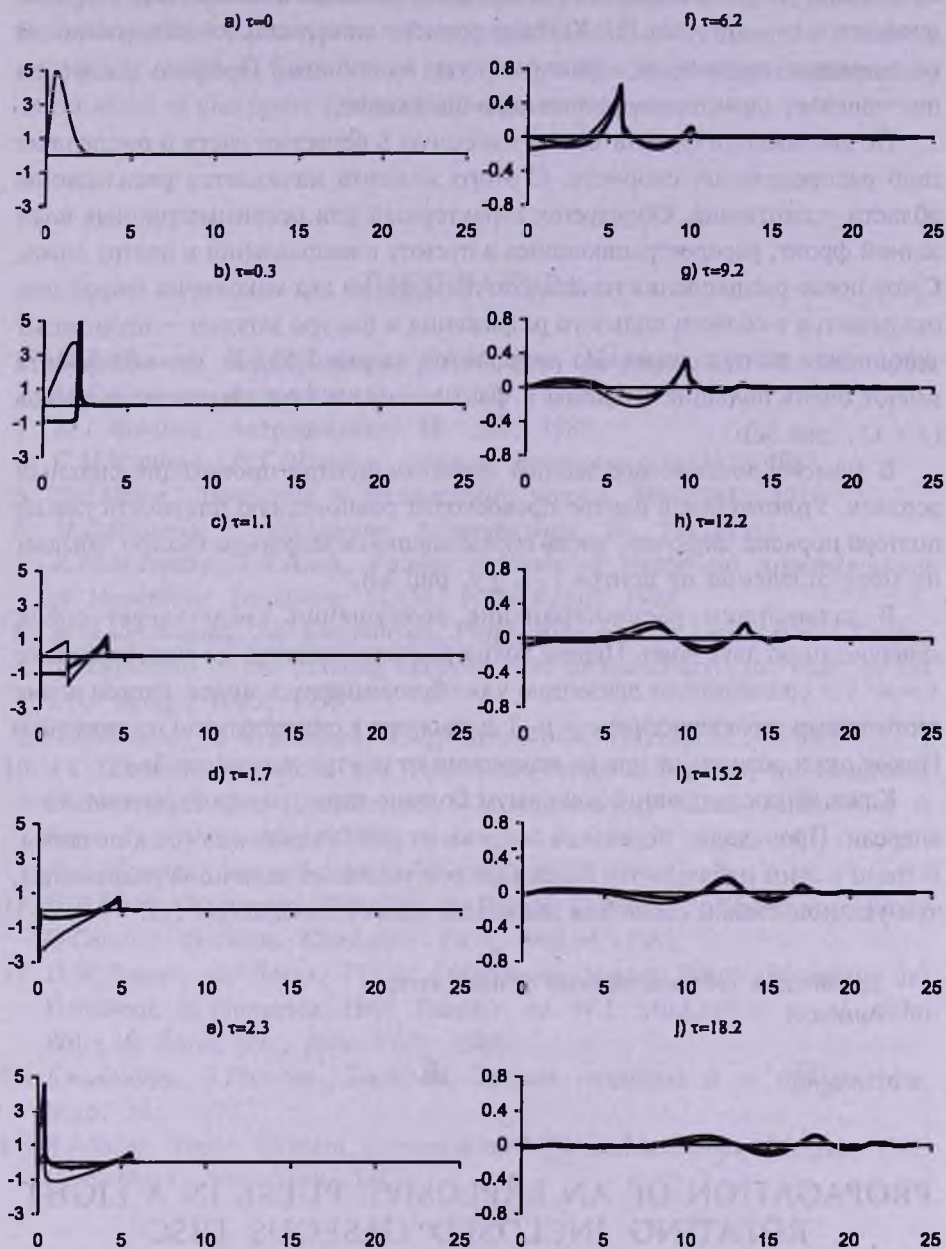


Рис.3. Эволюция взрывообразного импульса. Решение получено методом конечных элементов с учетом диссипации. Распределения возмущенной плотности (жирная линия) и радиальной скорости (тонкая линия) показаны в моменты времени, указанные на рисунке. Ось абсцисс дана в единицах безразмерной переменной  $x$ .

до тех пор, пока передний фронт профиля плотности не достигнет фронта профиля  $u$  ( $\tau = 0.3$ , рис.3б). К этому времени максимальное уплотнение на полпорядка превосходит равновесную плотность. Профиль скорости претерпевает характерное нелинейное искажение.

По достижении фронта  $u(x, \tau)$  максимум  $\Sigma$  перестает расти и расщепляет горб распределения скорости. С этого момента начинается расплывание области уплотнения. Образуется характерный для осесимметричных волн задний фронт, распространяющийся в пустоту в направлении к центру диска. Сразу после расщепления начального профиля на два максимума второй пик оказывается в области сильного разряжения и быстро затухает — происходит заполнение центра диска. Из результатов на рис.3 видно, что оба фронта имеют очень большие наклоны и фактически не отличаются от разрывов ( $\tau = 1.1$ , рис.3с).

В момент достижения задним фронтом центра происходит сильный всплеск. Уплотнение в центре превосходит равновесную плотность уже на полтора порядка. Впрочем, вновь образовавшийся максимум быстро убывает по мере отдаления от центра ( $\tau = 2.3$ , рис.3д).

В дальнейшем распространение возмущения представляет собой суперпозицию двух волн. Первая волна распространяется по характеристике  $c = u + 1$  и соответствует движению уже образовавшихся пиков. Вторая волна соответствует характеристике  $c = u - 1$  и движется в отрицательном направлении. Новые пики возникают при ее отражении от центра диска (рис.3е-ж).

Каждый последующий максимум больше пика, распространяющегося впереди. Происходит перекачка энергии от ранних максимумов к поздним. В связи с этим наблюдается более быстрое убывание величины уплотнений, чем установленный выше для движения одного пика закон  $1/x$ .

Ереванский государственный университет,  
Армения

## PROPAGATION OF AN EXPLOSIVE PULSE IN A LIGHT ROTATING INCLOSED GASEOUS DISC

M.G.ABRAHAMIAN, S.G.KHACHATRYAN

The propagation of axially symmetric nonlinear density perturbations, formed at the center of a rotating inclosed gaseous disc, is studied. In this paper the perturbation of disc's gravitational field is neglected. The approximation of continuous solutions, explored in the previous paper, is discussed. Two-dimensional

system of hydrodynamic equations is numerically integrated along the characteristics and qualitative description of the peaks' motion away from the center is analytically obtained. Evolution of an explosion-like initial pulse is obtained by introduction of dissipative forces into the governing system.

## ЛИТЕРАТУРА

1. *М.Г.Абрамян, Е.А.Михайлова, А.Г.Морозов*, *Астрофизика*, **24**, 167, 1986.
2. *М.Г.Абрамян*, *Астрофизика*, **14**, 579, 1978.
3. *М.Г.Абрамян*, *Астрофизика*, **18**, 350, 1982.
4. *С.М.Чурилов, И.Г.Шухман*, *Астрон. циркуляр.*, N1157, 1981.
5. *Дж.Уизем*, *Линейные и нелинейные волны*, Мир, М., 1977.
6. *М.Г.Абрамян, С.Г.Хачатрян*, *Астрофизика*, **40**, 291, 1997.
7. *R.Vichnevetsky, J.V.Bowls*, *Fourier Analysis of Numerical Approximations of Hyperbolic Equations*, SIAM, Philadelphia, 1982.
8. *M.G.Abrahamian, S.G.Khachatryan*, *Propagation of Non Linear Waves Caused by Explosion in the Rotating Gaseous Disc of the Galaxy*, in: *Proc. of 194 IAU Symp.*, ВАО, 1999.
9. *Л.Д.Ландау, Е.М.Лифшиц*, *Гидродинамика*, Наука, М., 1988.
10. *J.C.Tannehill*, *Hyperbolic and Hyperbolic-Parabolic Systems*, in: *Handbook of Numerical Heat Transfer*, ed. W.J. Minkowycz, et. al., John Wiley & Sons, Inc.; New York, 1988.
11. *М.Г.Абрамян*, *Астрофизика*, **22**, 487, 1985.
12. *G.D.Smith*, *Numerical Solution of Partial Differential Equations: Finite Difference Methods*, Clarendon Press, Oxford, 1985.
13. *D.W.Pepper, A.J.Baker*, *Finite Differences Versus Finite Elements*, in: *Handbook of Numerical Heat Transfer*, ed. W.J. Minkowycz, et. al., John Wiley & Sons, Inc.; New York, 1988.
14. *Дж.Альберг, Э.Нильсон, Дж.Уолш*, *Теория сплайнов и ее применения*, Мир, М., 1972.
15. *A.J.Baker*, *Finite Element Computational Fluid Mechanics*, McGraw-Hill/Hemisphere, New York, 1983.